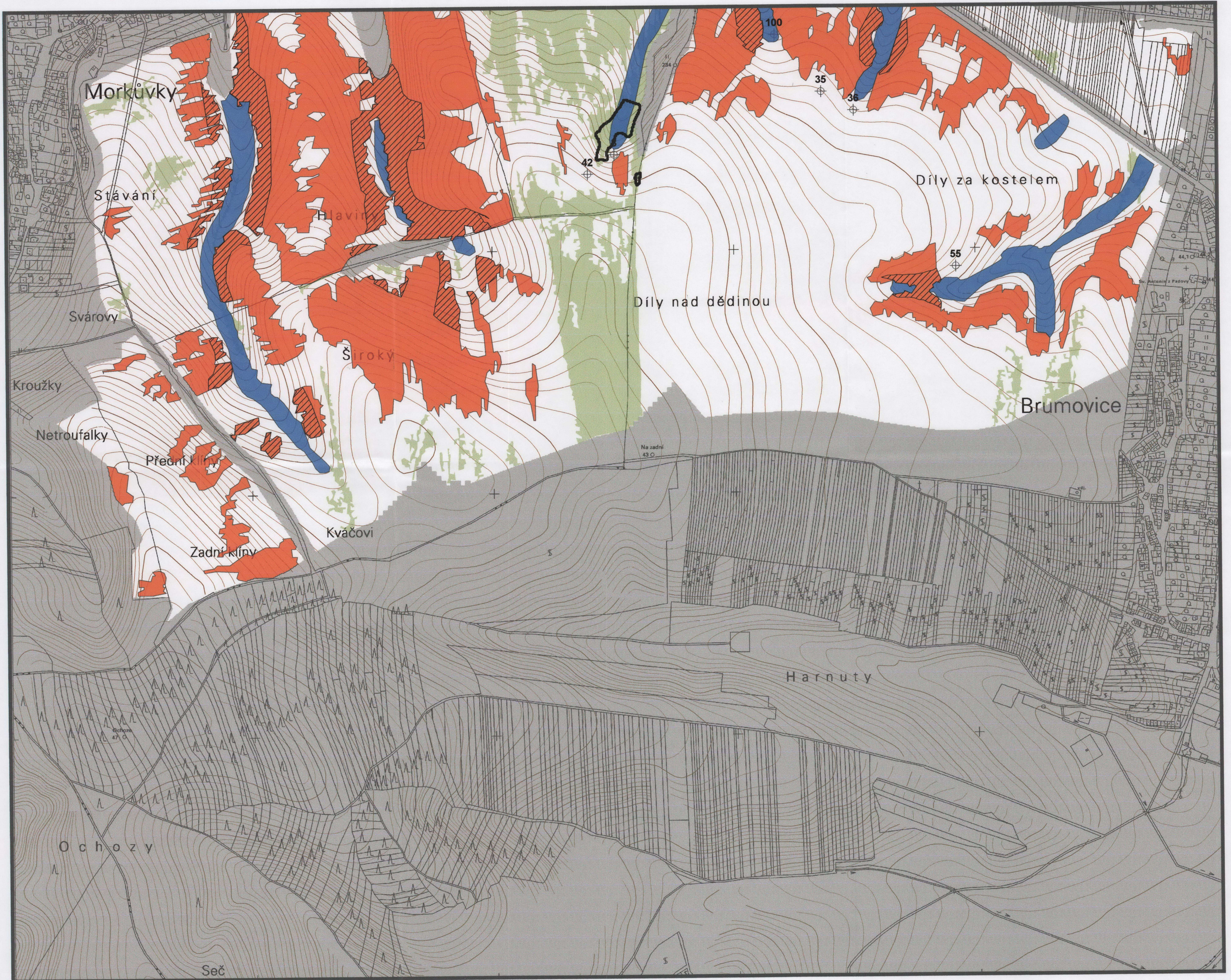
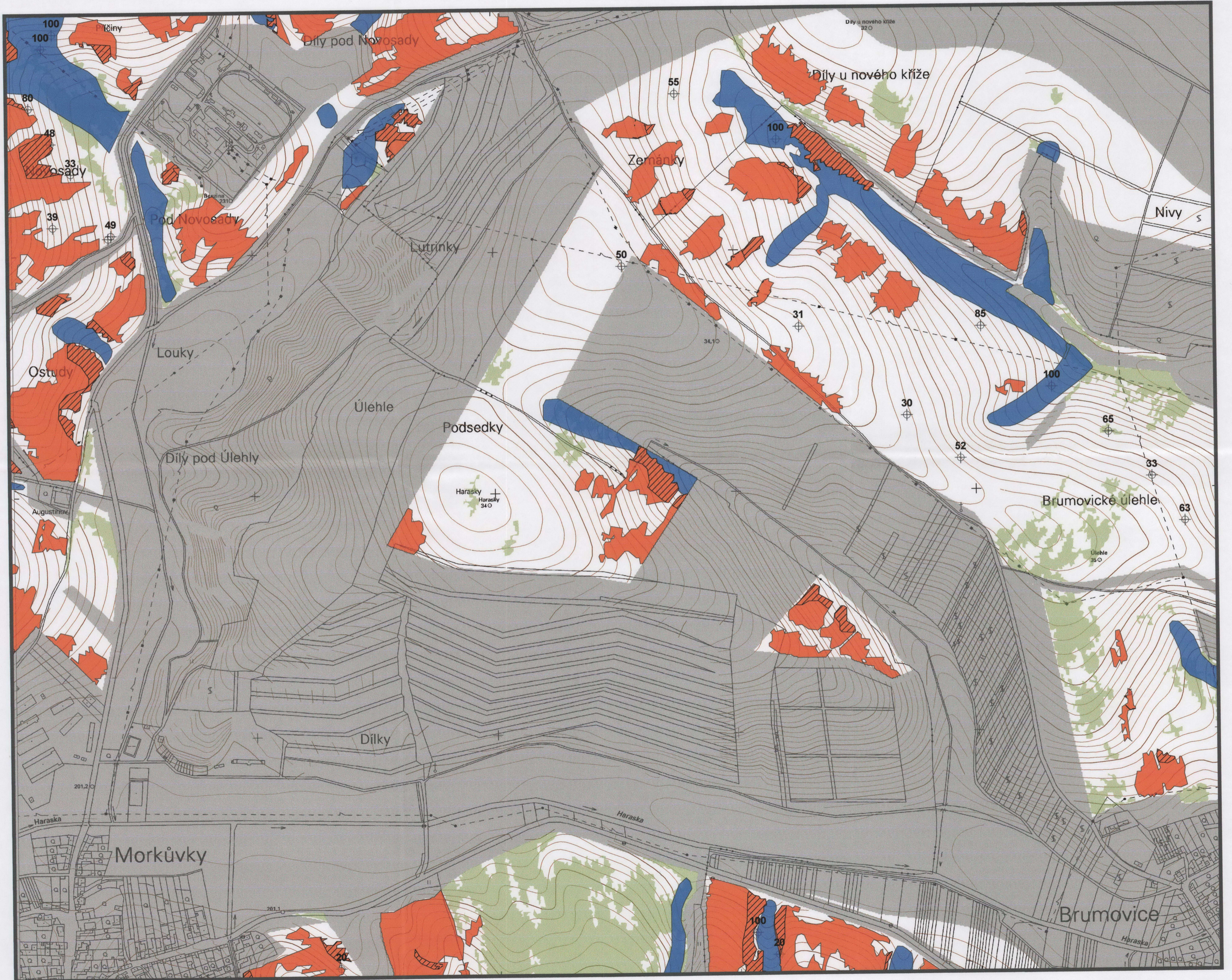


HUST 42





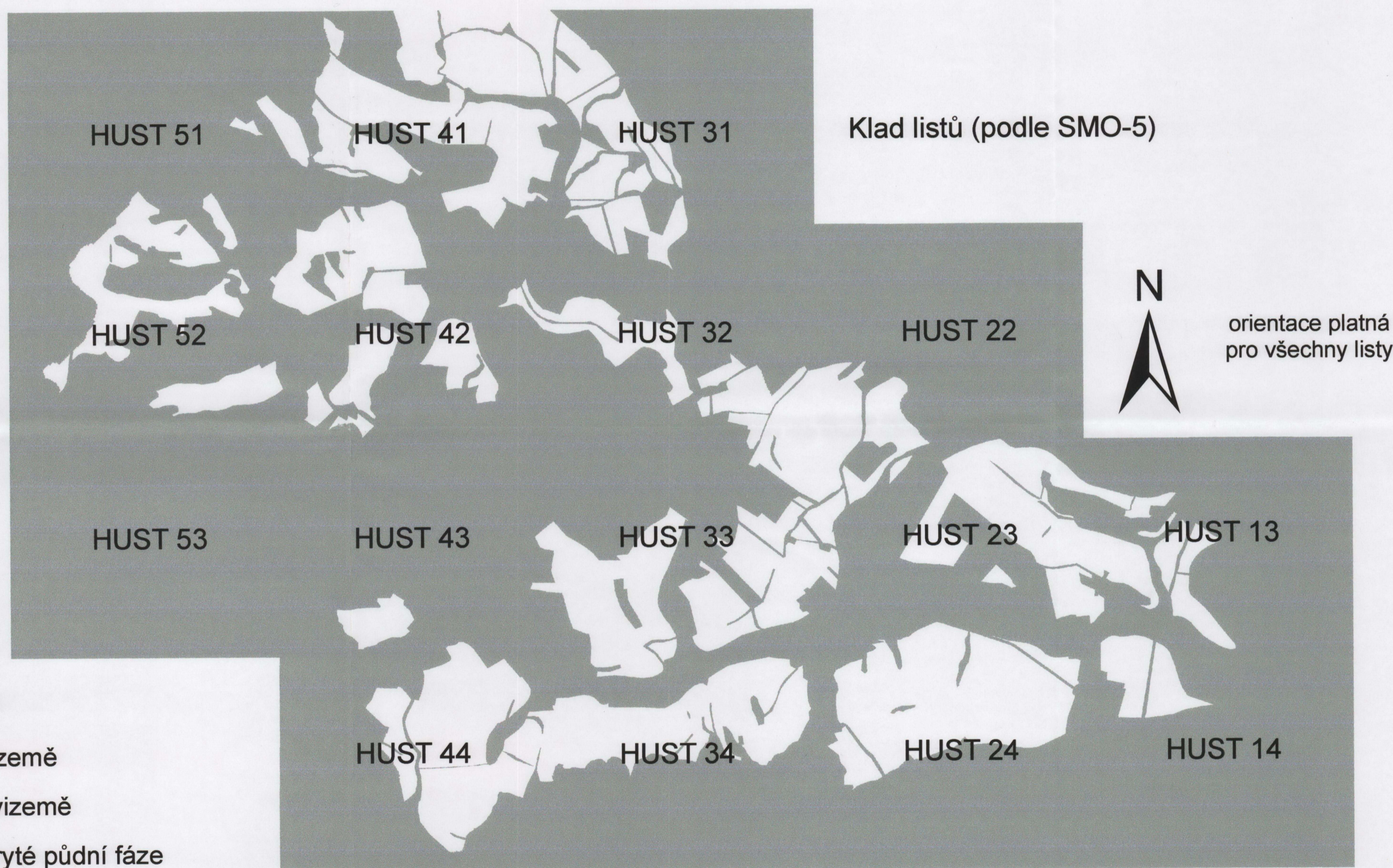
HUST 23



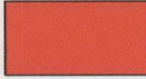
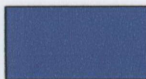

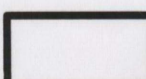



Kartografické vymezení půd výrazně ovlivněných erozně-akumulačním procesem

na území vymezeném pro digitální mapování půd
v povodí Harasky

na podkladu mapy SMO-5 1: 5 000



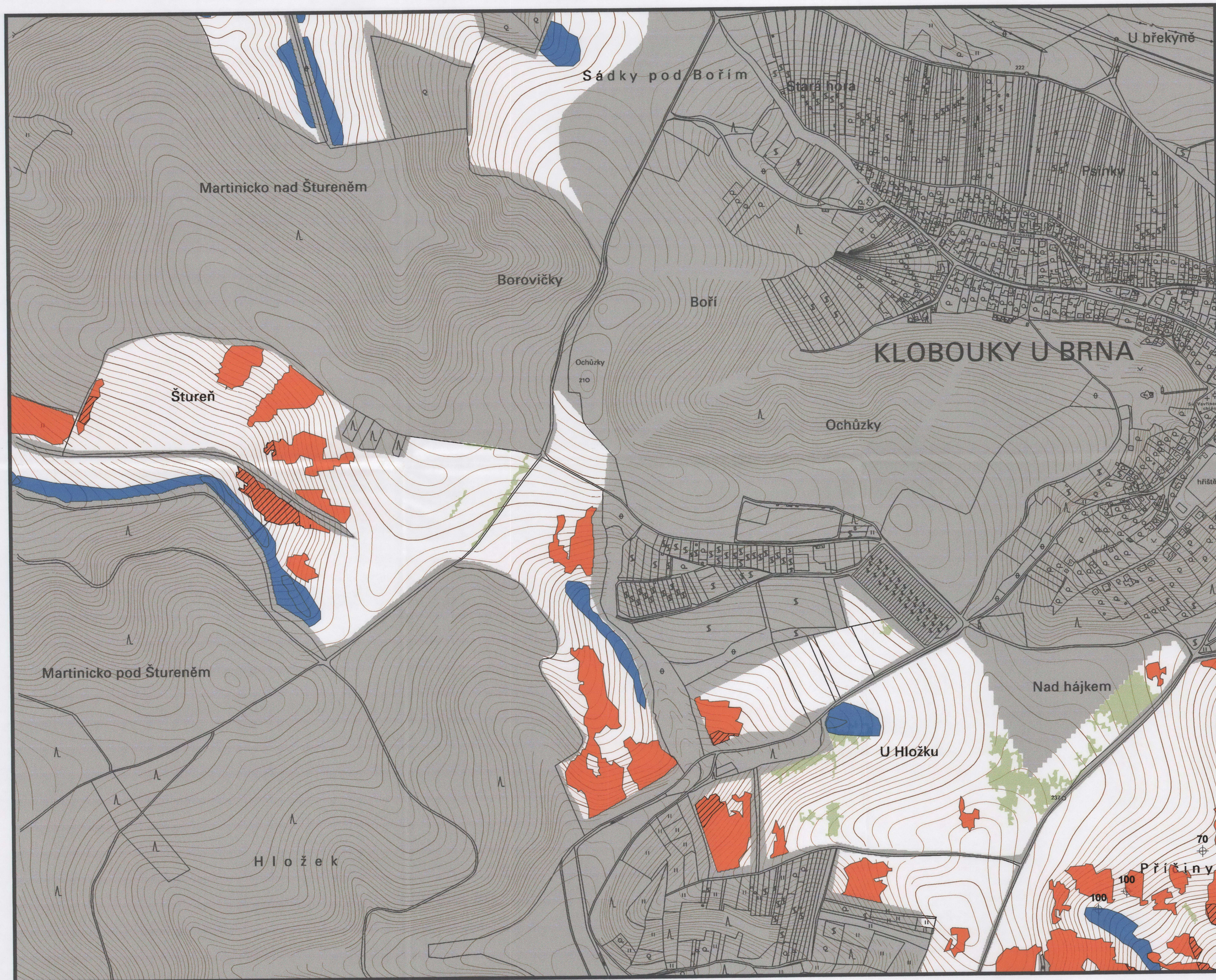
Legenda

-  regozemě
-  koluvizemě
-  překryté půdní fáze
-  koluvizem v lokalitě Větrolam
-  území nevymezené pro mapování
-  vegetace
- vrstevnice ZABAGED (int. 2 m)
-  průzkum sond. tyčí a mocnost horiz.ležících nad substrátem

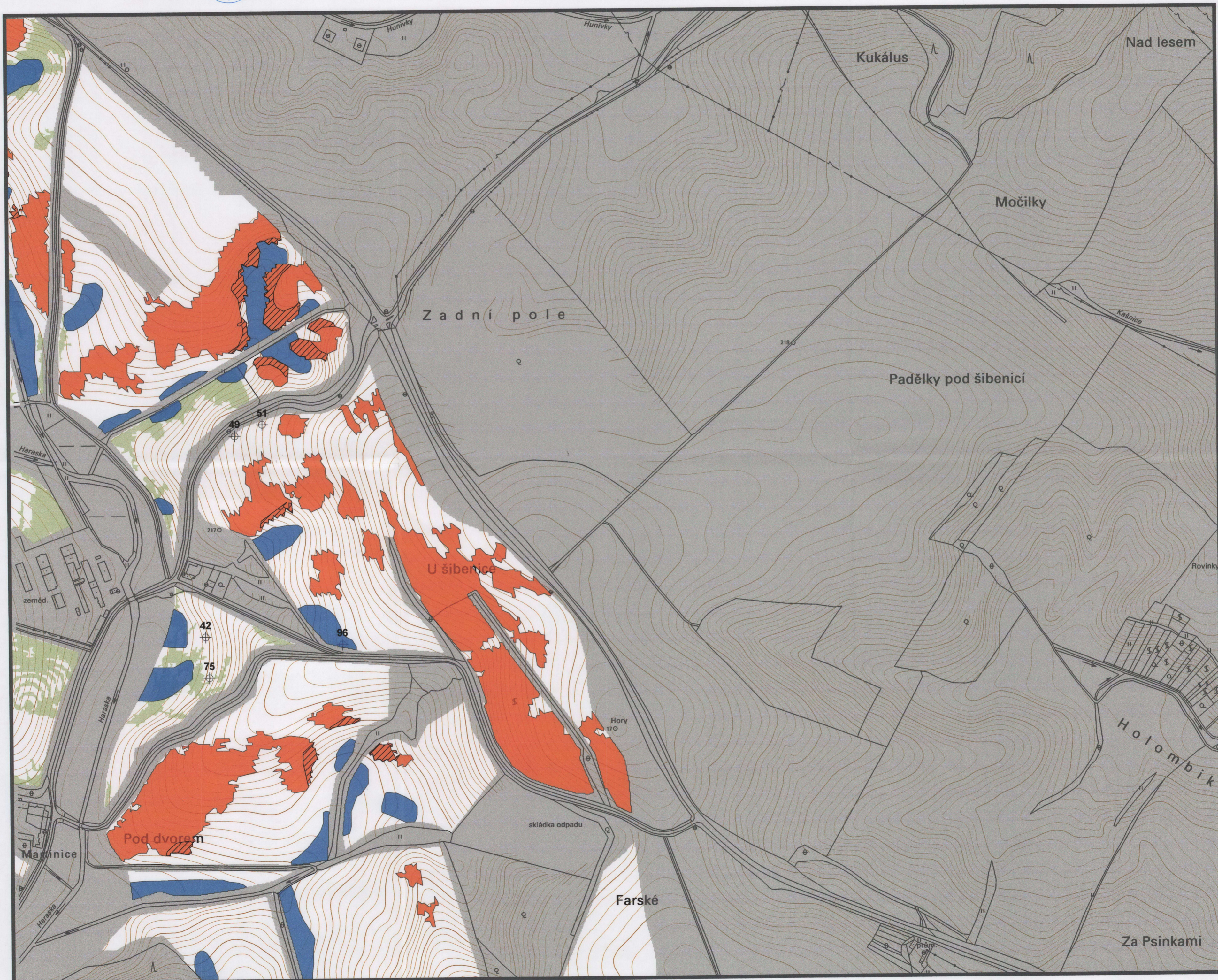
0 0,5 1 2 3 4 km

pozn. pro vysvětlení ostatních kartografických vyjádření
budiž odkázáno na legendu mapy SMO-5

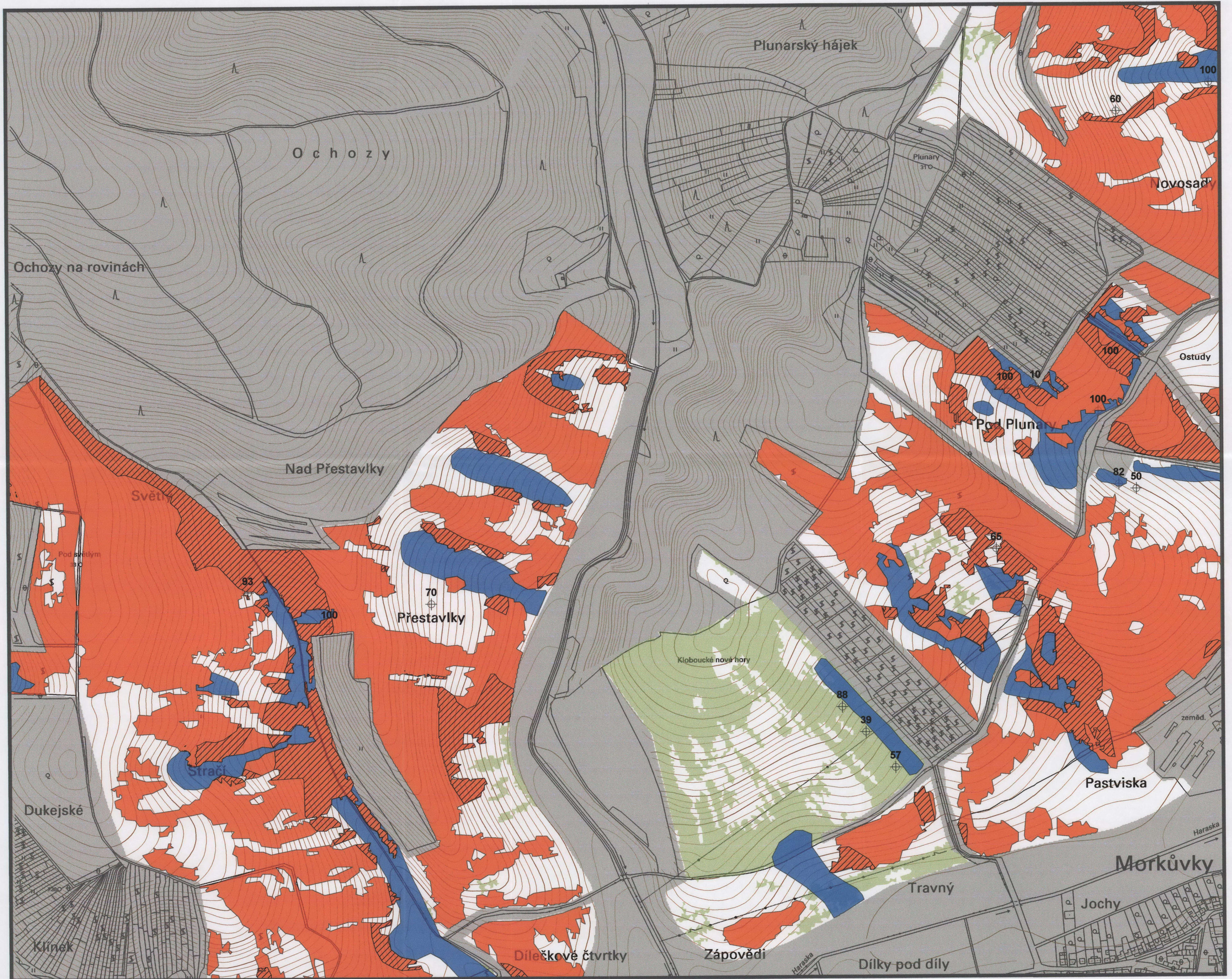
pozn.2 pro přesnou obsahovou náplň položek legend
je odkázáno na kapitolu diplomové práce
"Materiál a metody > Predikční model"



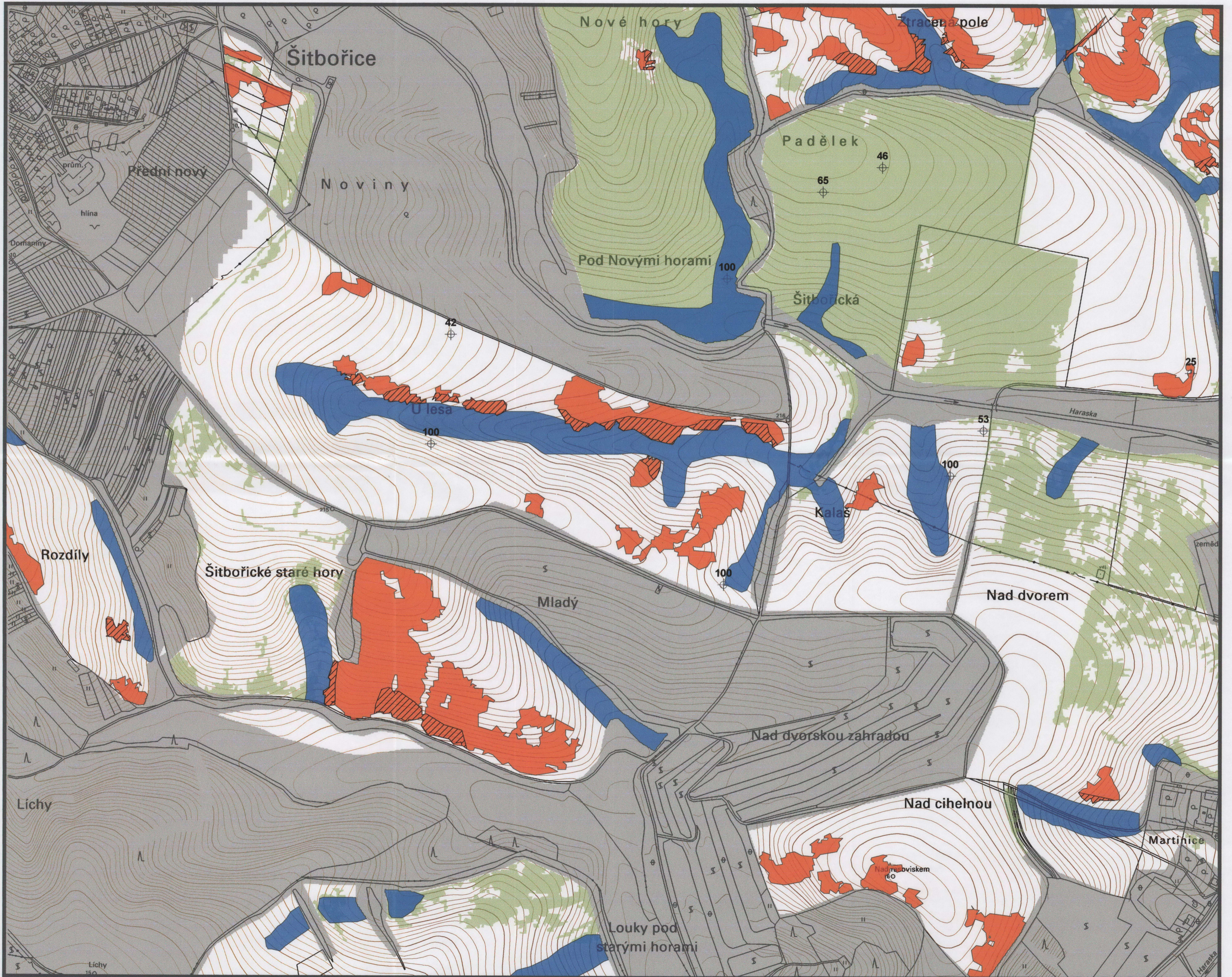
HUST 31



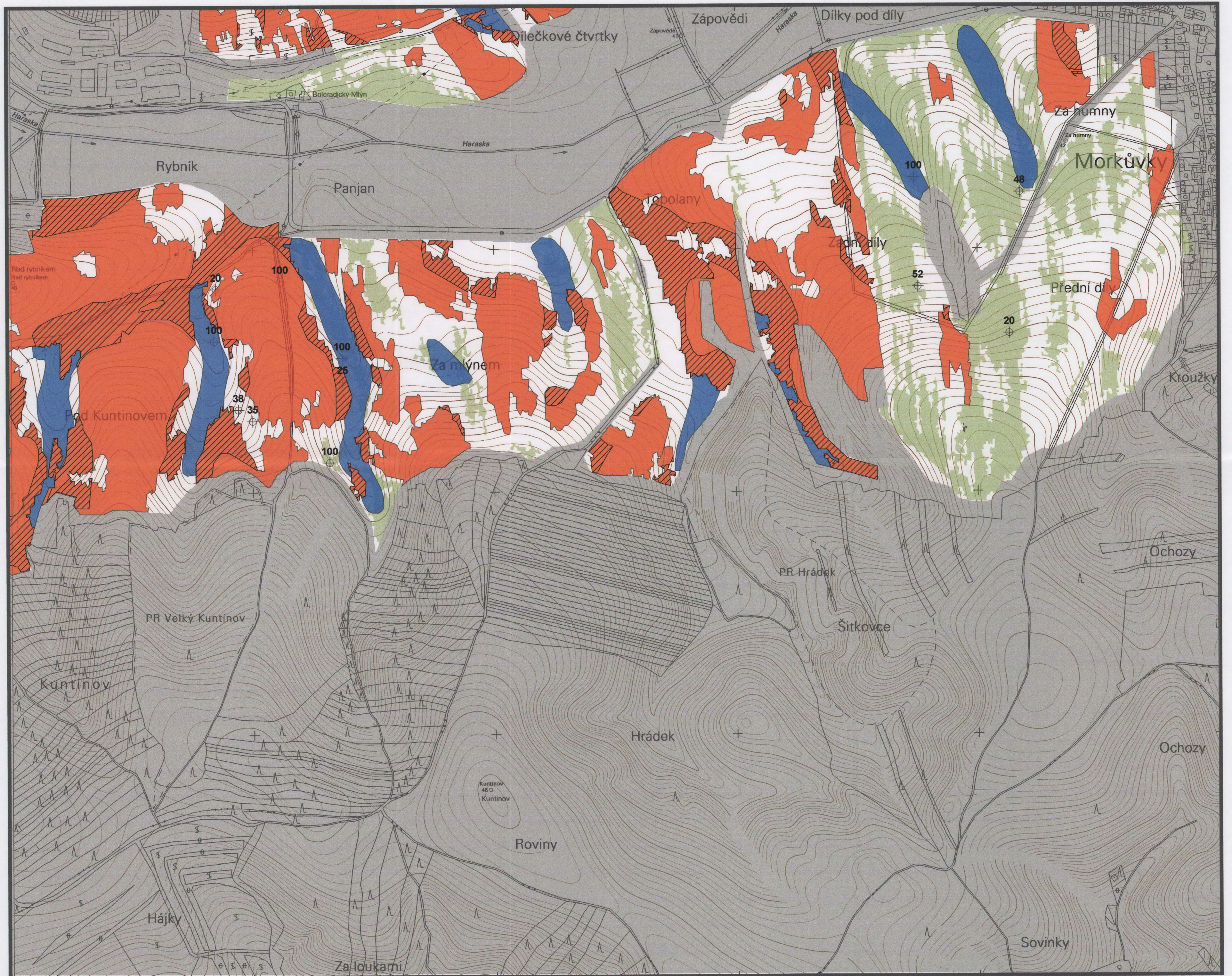
HUST 33



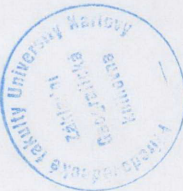
HUST 41



HUST 34



HUST 22



KLOBOUKY U BRNA

Kašnice

Horní újezd

Pod humny

Pod dědinou

Louky

Padělky

Nivy

Příčiny

Padělky městečka

Díly pod výsady

43

41

225 C

224,2

chráněná
224,1

vysíl.

zemědělský podnik

průmyslový podnik

prům.

prům.

prům.

prům.

zeměd.

škola

hřiště

Padělky
z.č.

hřiště II

kult. obj.

škola

nám. Miru

MěU

223,1

223,2

223,3

223,4

223,5

223,6

223,7

223,8

223,9

223,10

223,11

223,12

223,13

223,14

223,15

223,16

223,17

223,18

223,19

223,20

223,21

223,22

223,23

223,24

223,25

223,26

223,27

223,28

223,29

223,30

223,31

223,32

223,33

223,34

223,35

223,36

223,37

223,38

223,39

223,40

223,41

223,42

223,43

223,44

223,45

223,46

223,47

223,48

223,49

223,50

223,51

223,52

223,53

223,54

223,55

223,56

223,57

223,58

223,59

223,60

223,61

223,62

223,63

223,64

223,65

223,66

223,67

223,68

223,69

223,70

223,71

223,72

223,73

223,74

223,75

223,76

223,77

223,78

223,79

223,80

223,81

223,82

223,83

223,84

223,85

223,86

223,87

223,88

223,89

223,90

223,91

223,92

223,93

223,94

223,95

223,96

223,97

223,98

223,99

223,100

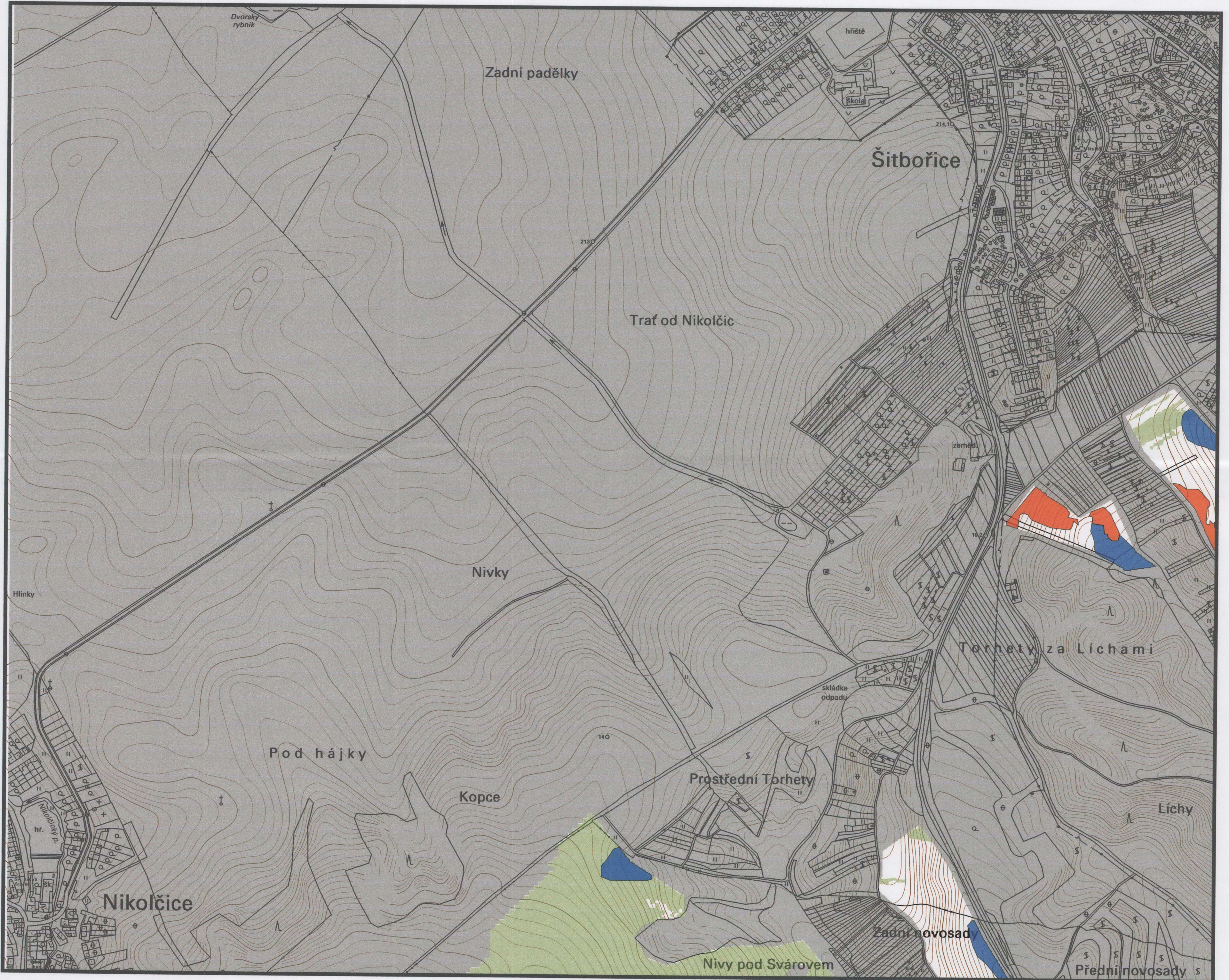
HUST 14



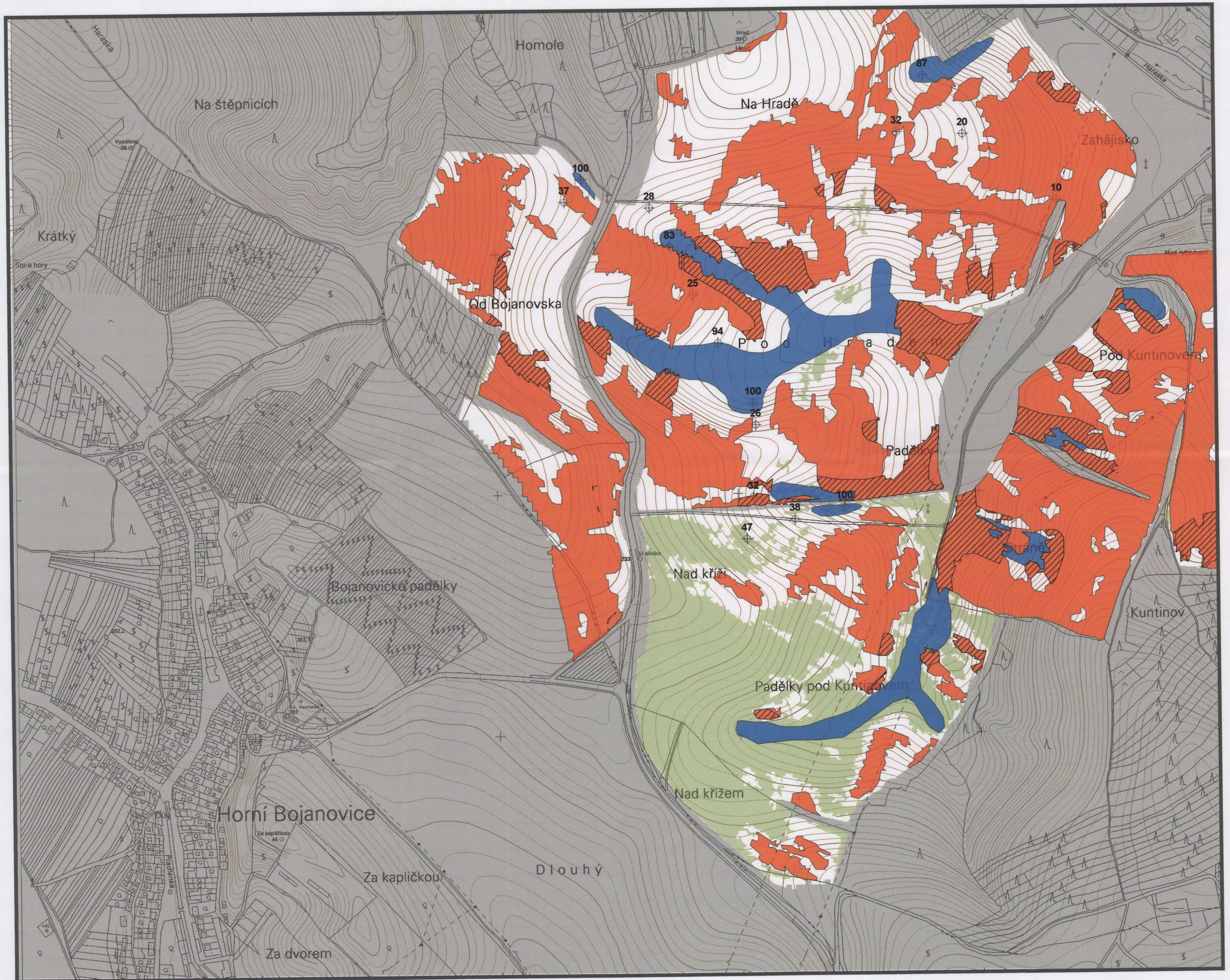
HUST 13







HUST 44

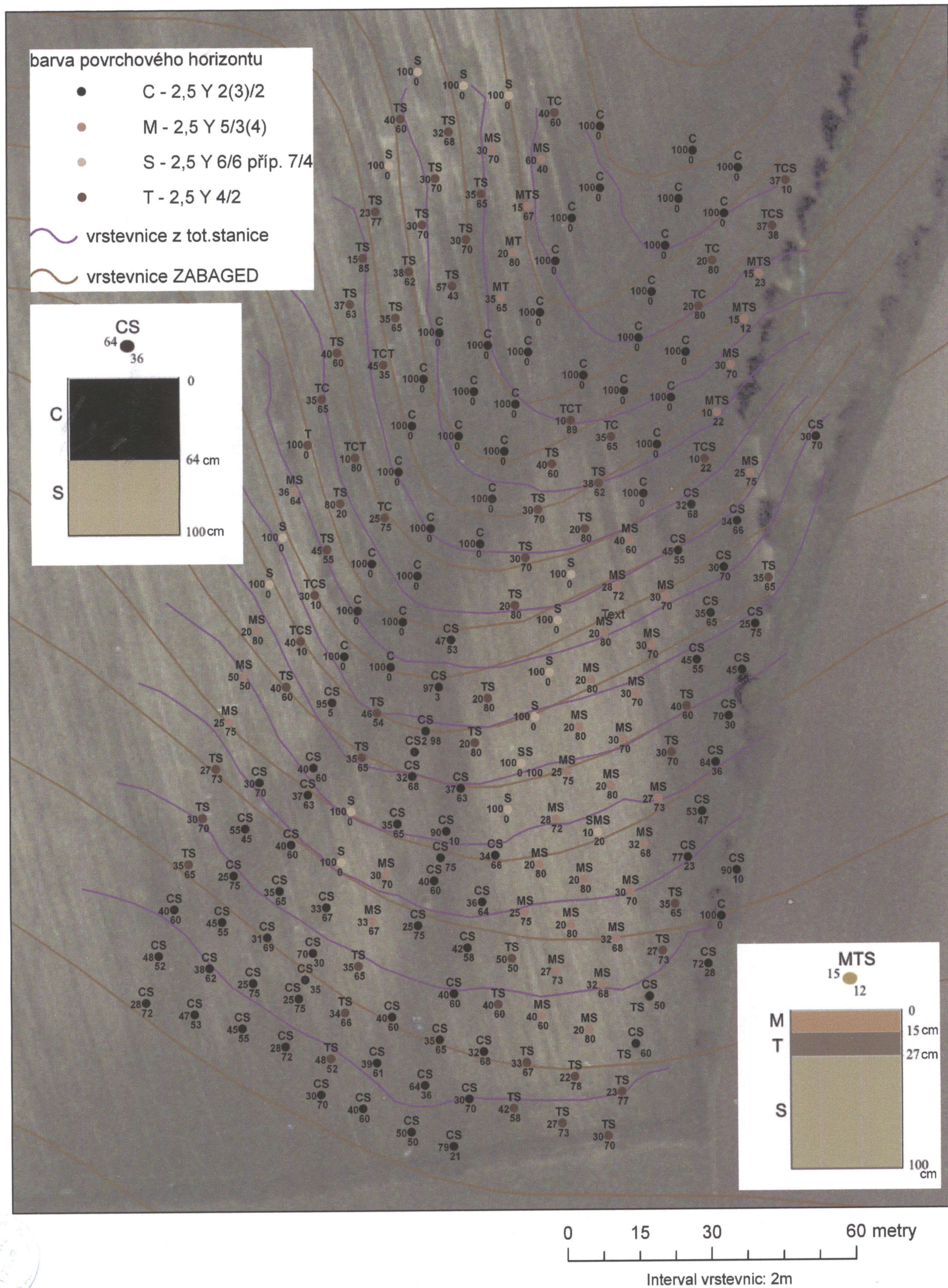


Pedologický průzkum v lokalitě "Větrolam"

Kód nad bodem značí sled půdních horizontů od povrchu vyznačujících se barvou uvedenou v legendě.

Údaje u bodu značí mocnosti horizontů: vlevo - mocnost povrchového horizontu, vpravo (dole) - mocnost druhého horizontu od povrchu.

(Průzkum byl proveden metrovou sondážní tyčí.)



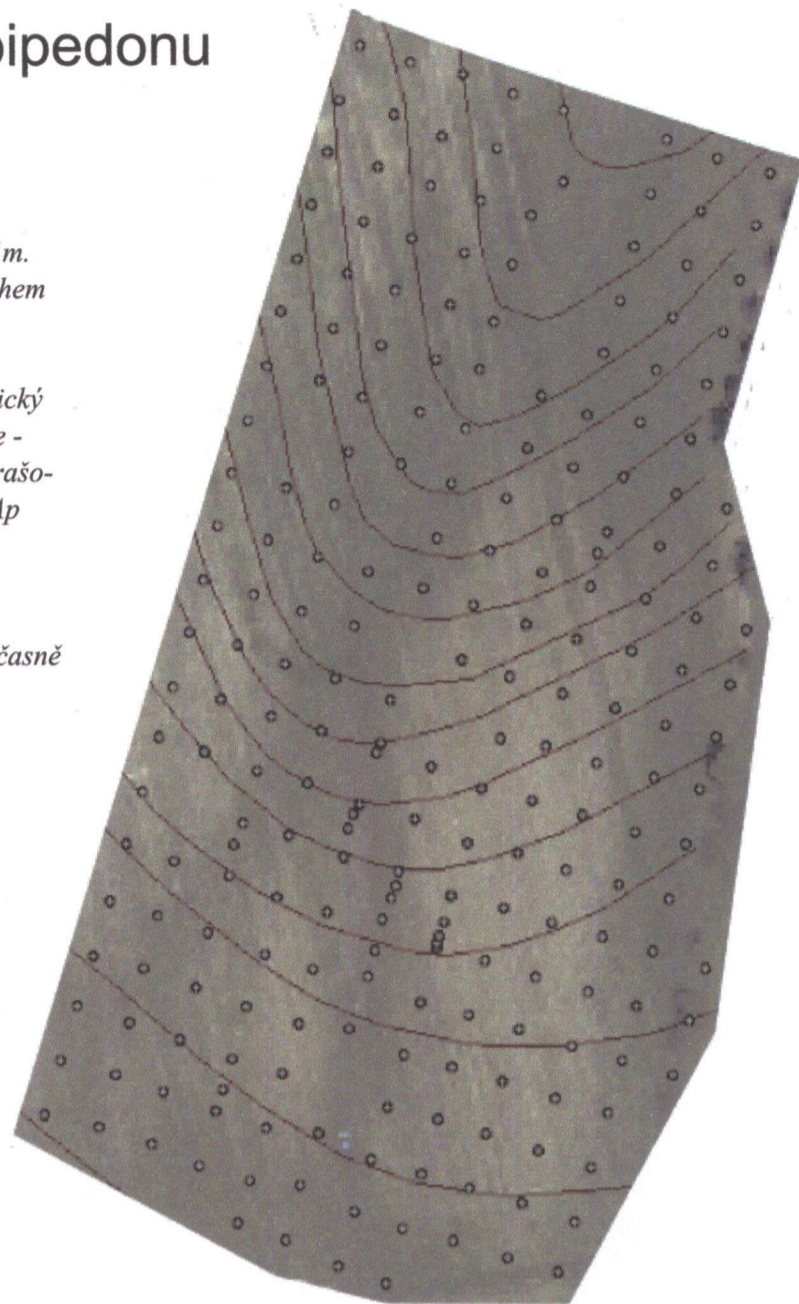
Výsledky detailního průzkumu mocnosti epipedonu v lokalitě Větrolam

Příloha 2

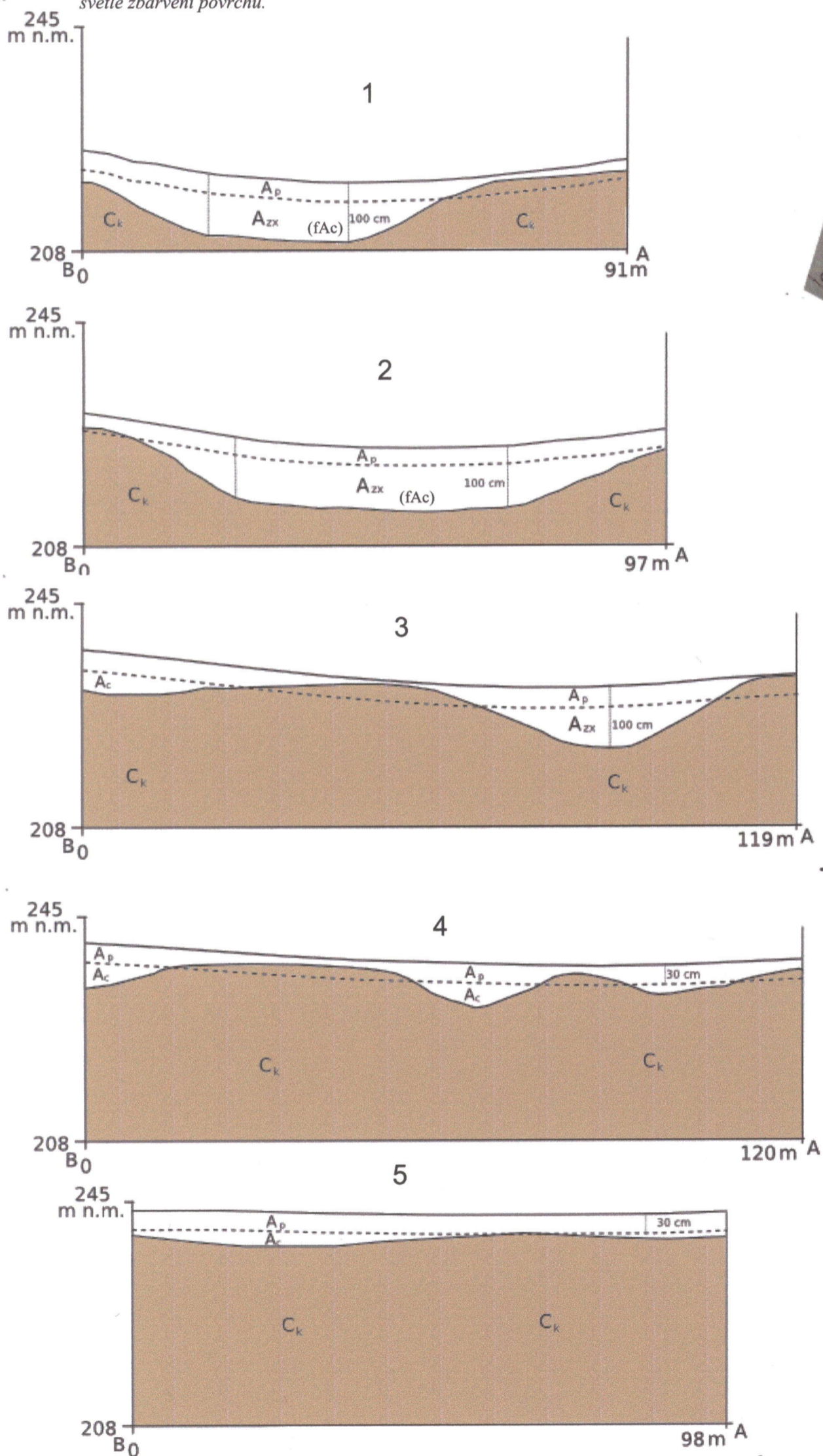
Mocnosti epipedonu v transektech jsou 10x znásobeny. Mocnost byla zkoumána do hloubky 1m. V transektech 1 a 2 je však v prostoru mezi úsečkami předpokládána mocnost epipedonu mnohem vyšší. (Vrty v podobných lokalitách odhalily mocnost až několik metrů.)

Epipedon zde představuje souhrnné označení pro horizonty A_c - černický, fAc - subfosilní černický a A_{zx} - vzniklý navrstvením materiálu humózních horizontů v souvislosti s procesem koluviace - a jejich proorávanou vrstvu A_p . Mocnost epipedonu v oblastech, kde dochází k přiorávání sprašového materiálu (C_k), byla odhadnuta podle tmavosti barevně zhomogenizovaného horizontu A_p (jejíž odhad je komplikován i různou intenzitou procesu iniciální humufikace).

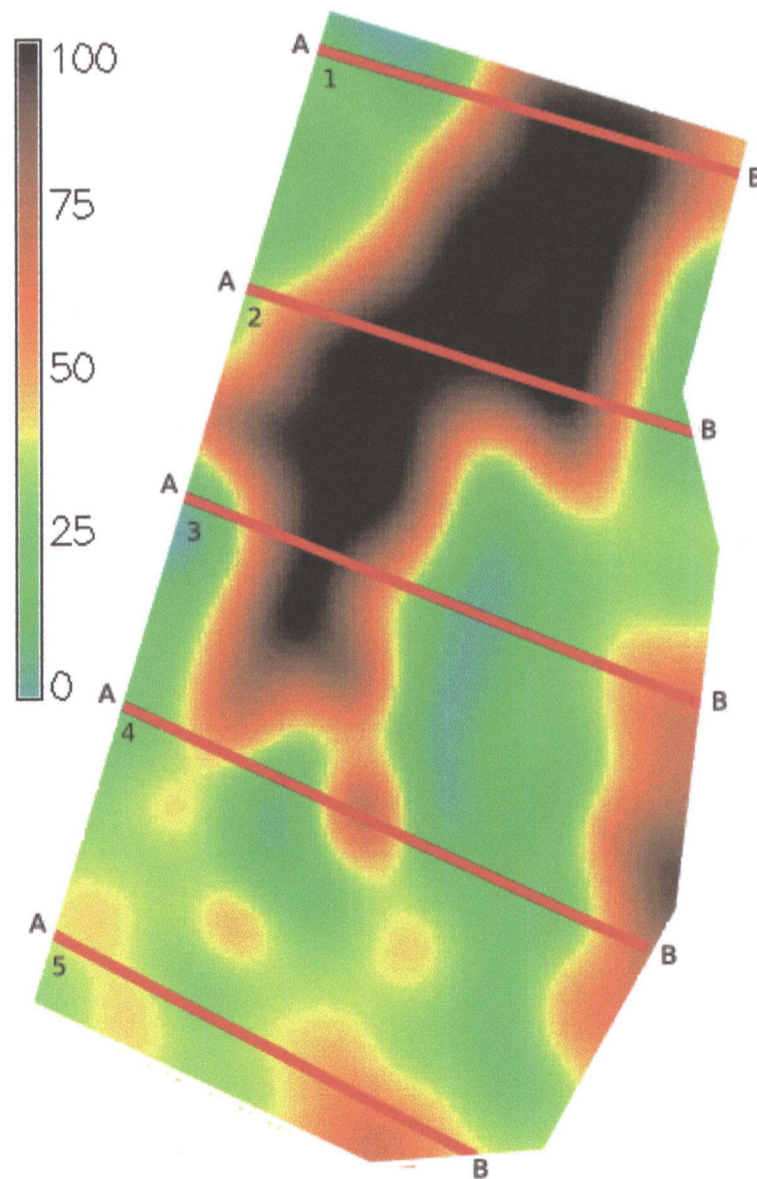
Koluviace humusem chudého materiálu (z výrazně erodovaných ploch) způsobuje v některých místech překrytí humusem bohatého materiálu - vznik subfosilního horizontu fA_{zx} (fAc) a současně světlé zbarvení povrchu.



Ortofoto s vyznačenými sondovacími body a s vrstevnicemi ZABAGED s intervalem 2m



50 metrů



Mocnost epipedonu v cm s vyznačením transektů. (při mocnosti do 30 cm dochází k přiorávání sprašového materiálu)

Příloha 4 Vlastnosti sond terénního průzkumu v povodí Harasky

Ident	X-jtks	Y-jtks	Mocnost epiepedon	Koluvizemě a překryté	Klasifikace ortofota	Nadm. výška	Sklonitost (°)	Profil. křivost	Tangenc. křivost	USPED	Topogr. index	Orientace svahů (°)	Relat. výška	Průměrná sklonitost
1	-585489,39	-1182872,4	53	ne	1	246,7	8,9	-9,9E-04	2,2E-04	-0,116	6,5	85	0,22	7,2
2	-585558,08	-1182965,7	100	ano	2	256,3	7,9	-2,5E-05	1,2E-03	-0,804	6,2	147	0,38	7,2
3	-586025,57	-1183190,4	100	ano	1	277,0	5,8	2,2E-04	-9,1E-04	0,526	7,1	25	0,67	6,2
4	-586628,91	-1182901,2	100	ano	1	294,2	12,4	-7,7E-04	-1,1E-04	0,046	6,4	67	0,49	6,9
5	-586588	-1182676,3	42	ne	2	295,5	3,3	-4,1E-04	5,8E-04	-0,589	7,6	340	0,62	4,8
6	-586019,28	-1182561,2	100	ano	10	254,5	3,0	1,9E-05	-1,4E-03	1,526	11,3	252	0,17	5,9
7	-585821,47	-1182382,6	65	ne	10	281,9	4,2	4,2E-04	-2,8E-04	0,211	7,3	274	0,86	4,8
8	-585698,47	-1182332,2	46	ne	10	282,7	2,5	1,9E-04	8,5E-04	-1,000	6,7	337	0,79	4,8
9	-585062,49	-1182753,3	25	ne	3	242,2	3,8	2,0E-04	1,3E-03	-1,098	6,5	329	0,30	3,2
10	-586320,42	-1188345,8	100	ano	2	263,1	5,0	6,6E-04	5,4E-04	-0,139	7,2	5	0,53	4,8
11	-586355,76	-1188392,3	37	ne	2	265,2	4,2	-8,5E-05	4,6E-04	-0,507	7,6	338	0,49	5,2
12	-586179,2	-1188405,3	28	ne	2	252,9	6,0	6,3E-04	-1,2E-03	0,646	7,4	306	0,60	5,5
13	-586137,4	-1188486,1	83	ano	2	244,6	6,1	-4,7E-04	-1,7E-03	0,895	8,2	350	0,52	6,0
14	-586090,26	-1188586,2	25	ne	3	238,3	7,0	-1,1E-04	1,3E-03	-0,559	6,3	343	0,39	6,0
15	-586039,48	-1188686,5	94	ano	2	228,1	4,3	-4,1E-04	5,0E-05	-0,046	7,5	329	0,20	5,8
16	-585967,96	-1188811,5	100	ano	2	228,1	9,3	-2,2E-03	-1,5E-03	0,741	7,5	92	0,26	7,0
17	-585962,91	-1188856,7	26	ne	2	237,0	10,9	1,2E-03	-1,2E-03	0,596	6,4	92	0,41	7,4
18	-585968,93	-1189007,1	32	ne	3	242,3	7,2	-3,9E-04	-1,8E-03	0,738	9,4	355	0,38	6,9
19	-585982,91	-1189093,2	47	ne	10	249,1	8,6	-1,6E-04	-8,1E-04	0,507	7,5	42	0,48	7,0
20	-585882,99	-1189053,4	38	ne	3	236,0	7,1	-7,4E-04	-1,1E-03	0,866	8,1	55	0,37	7,2
21	-585779,77	-1189028,9	100	ano	10	226,4	6,2	-1,6E-03	-1,8E-03	0,701	8,6	47	0,31	7,0
22	-585327,82	-1188396,2	10	ne	3	217,5	9,8	2,8E-04	3,5E-04	-0,163	6,9	343	0,41	8,4
23	-585526,78	-1188257,9	20	ne	2	244,8	4,9	4,3E-04	8,4E-04	-0,541	6,5	8	0,72	6,7
24	-585663,68	-1188252,8	32	ne	3	253,7	3,0	6,0E-06	2,1E-03	-1,980	6,4	325	0,74	6,1
25	-585608,39	-1188135,6	87	ano	1	241,2	9,0	-8,0E-06	-2,3E-03	1,325	7,9	31	0,62	7,9
26	-586414,75	-1187787,9	26	ne	2	229,5	6,9	-4,7E-04	6,1E-04	-0,469	7,0	318	0,28	7,2
27	-586501	-1187709,8	93	ano	2	245,3	8,7	-3,1E-04	1,5E-04	-0,047	6,8	340	0,49	8,4
28	-586591,09	-1187726,4	28	ne	3	256,5	9,3	5,7E-04	2,1E-03	-1,180	5,9	315	0,55	9,3
29	-584443,5	-1188563,8	100	ano	3	208,3	8,3	-2,2E-04	1,2E-03	-0,470	6,0	55	0,39	5,4
30	-584576,46	-1188579,6	20	ne	3	207,1	6,6	-1,3E-03	1,1E-03	-0,581	6,3	146	0,31	5,1
31	-584580,42	-1188687,3	100	ano	2	210,0	2,9	-1,7E-03	-9,6E-04	1,581	9,7	157	0,28	5,6
32	-584530,23	-1188828,6	38	ne	2	219,7	8,8	-7,9E-04	-8,5E-04	0,485	7,1	156	0,29	6,7
33	-584500,8	-1188852,2	35	ne	2	225,2	8,8	1,9E-04	-1,1E-03	0,654	7,0	159	0,34	7,0
34	-584341,67	-1188937,8	100	ano	10	228,0	9,9	-4,7E-04	-8,6E-04	0,408	7,0	24	0,29	7,0
35	-584314,35	-1188771,1	25	ne	3	214,2	6,0	-2,5E-03	-1,2E-03	1,233	7,9	45	0,24	7,0
36	-584315,38	-1188722,6	100	ano	10	211,0	4,4	-2,0E-03	-1,8E-03	2,552	9,6	63	0,26	6,5
38	-584135,92	-1187224,5	70	ne	2	233,3	7,9	-3,0E-04	-3,2E-05	0,033	7,2	2	0,41	9,0
39	-584514,85	-1187199,6	93	ano	2	249,0	7,5	-1,2E-03	-1,1E-04	0,023	7,3	11	0,35	8,1
40	-584346,75	-1187269,5	100	ano	3	245,0	12,3	-9,4E-04	-1,9E-03	0,485	6,3	193	0,44	7,4
41	-583179,18	-1187565,3	57	ne	10	215,0	5,9	7,6E-05	-1,3E-04	0,147	8,0	327	0,40	6,4
42	-583288,74	-1187440,2	88	ano	10	232,9	6,4	1,2E-04	-2,5E-04	0,250	7,9	324	0,54	6,9
43	-583240,18	-1187491,9	39	ne	10	224,8	6,6	-1,4E-04	-2,3E-04	0,213	8,1	324	0,47	6,5
44	-582912,81	-1188383,4	48	ne	10	228,6	6,4	-2,7E-04	-1,6E-03	0,629	8,2	78	0,45	6,3
46	-582934,65	-1188673,7	20	ne	10	259,6	6,4	1,7E-05	-1,0E-05	-0,008	7,5	114	0,57	6,8
47	-583123,35	-1188577,5	52	ne	10	242,7	7,1	-4,0E-04	1,3E-03	-0,961	6,8	91	0,44	7,9
48	-583131,71	-1188353	100	ano	10	217,8	4,5	-2,9E-04	-3,8E-03	2,610	10,1	126	0,41	6,4
49	-579639,53	-1187290,7	42	ne	1	215,7	4,8	6,1E-05	1,2E-03	-0,786	6,4	354	0,74	5,1
50	-580067,81	-1187069	63	ne	1	233,6	6,6	8,8E-04	-1,0E-04	0,079	6,5	29	0,77	5,5
51	-580135,41	-1186976,2	33	ne	1	233,0	5,8	4,7E-04	5,2E-04	-0,459	7,0	60	0,75	6,2
52	-580225,04	-1186883	65	ne	10	226,6	7,1	6,7E-04	-1,1E-04	0,060	7,6	68	0,56	6,9
53	-580341,55	-1186788,9	100	ano	1	217,9	5,2	6,4E-04	-2,3E-03	2,164	9,9	47	0,28	6,6
54	-580487,73	-1186661,8	85	ano	1	226,5	6,3	6,3E-04	2,2E-04	-0,191	8,0	39	0,41	5,9
55	-580909,33	-1186271,2	100	ano	2	239,2	3,3	-8,4E-04	-1,6E-03	1,491	10,8	348	0,26	5,4
56	-581120	-1186174,6	55	ne	1	252,9	5,2	-3,7E-04	-3,4E-04	0,271	7,6	355	0,38	4,8
57	-581232,73	-1186530,6	50	ne	1	277,7	1,6	5,8E-04	2,6E-04	-0,389	7,1	18	0,98	3,3
58	-580866,49	-1186659,5	31	ne	2	258,5	3,4	2,2E-04	7,6E-04	-1,047	6,9	38	0,69	4,6
59	-580643	-1186845	30	ne	1	246,6	3,7	5,6E-04	1,5E-04	-0,136	7,1	16	0,71	4,2
60	-580532,18	-1186934,8	52	ne	1	241,8	6,3	1,5E-03	-6,1E-04	0,338	6,5	49	0,71	4,6
61	-579402,35	-1188072,5	55	ne	10	179,4	2,1	-4,0E-06	-1,8E-04	0,225	9,0	32	0,27	1,5
62	-580965,69	-1187914,4	100	ano	2	192,9	7,0	-7,3E-04	-1,8E-03	1,417	7,7	58	0,25	7,0
63	-580921,38	-1187960	20	ne	2	197,4	6,2	-1,2E-05	-1,4E-03	1,136	9,5	114	0,32	6,9
64	-580913	-1188055,9	100	ano	1	206,9	5,5	1,4E-04	-1,4E-03	1,293	9,4	98	0,43	6,3
65	-580817,37	-1188174	35	ne	2	215,8	3,6	4,7E-04	7,0E-04	-1,073	7,8	48	0,53	4,9
66	-580750,24	-1188212,7	36	ne	1	214,4	4,7	4,9E-04	-1,1E-03	1,263	9,6	66	0,55	4,4
67	-580541,11	-1188536,4	55	ne	2	211,8	6,7	-9,0E-04	-8,4E-05	0,019	6,8	317	0,42	5,2
68	-581831,39	-1187980,4	20	ne	3	197,7	8,2	-2,5E-03	1,5E-04	-0,071	6,6	50	0,25	7,6
69	-582886,02	-1186781,7	10	ne	2	244,5	6,2	-2,8E-04	-1,1E-03	0,539	8,8	315	0,31	6,9
70	-582949,06	-1186786,3	100	ano	3	249,7	6,2	-3,6E-04	-8,2E-04	0,703	9,1	332	0,34	7,9
71	-582968,9	-1187115,9	65	ne	2	240,1	8,0	-6,7E-04	-1,2E-03	0,755	7,1	270	0,42	6,8
72	-582714,65	-1186984,2	82	ano	2	222,4	9,2	-1,5E-03	-7,0E-04	0,421	7,1	55	0,35	7,5
73	-582678,82	-1186993,5	50	ne	1	220,7	8,0	-1,4E-03	-1,6E-04	0,112	7,1	60	0,35	7,3
74	-582756,63	-1186833,8	100	ano	3	230,6	8,5	6,8E-04	-4,1E-04	0,180	7,3	299	0,32	6,6
75	-582730,21	-1186734,7	100	ano	3	235,9	6,7	-1,2E-04	-2,6E-04	0,291	7,6	337	0,35	6,8
76	-582716,35	-1186216,2	60	ne	2	264,1	12,0	-1,4E-03	-4,5E-04	0,208	6,9	30	0,39	10,9